

Количественная обработка серии аналогичных бифуркационных диаграмм позволила построить двухпараметрическую диаграмму режимов в плоскости параметров V_{\sim} — V_{\pm} (рис. 2). Значение параметра V_{\pm} изменялось в пределах $-1 \leq V_{\pm} \leq 1$ В, а амплитуда внешнего воздействия — $0 \leq V_{\sim} \leq 3$ В. В области 1 существуют вынужденные колебания с частотой внешней силы. Сплошная линия, разделяющая области 1 и 2, соответствует границе, на которой происходит первая бифуркация удвоения периода колебаний. Область 2 — область существования субгармоники тока 1 порядка $1/2$. Штриховая линия в области 2 обозначает нижнюю границу гистерезиса нелинейного субрезонанса $1/2$. Заштрихованные области являются зонами удвоения периода колебаний на основе субрезонанса $1/2$ и $1/3$ соответственно. Далее области CA_2 и CA_3 — зоны странных аттракторов, в которых развитие хаотических колебаний происходит на основе субгармонических резонансов $1/2$ и $1/3$ соответственно. Из диаграммы следует, что зарождение бифуркационных явлений в осцилляторе локализовано в очень узком интервале изменения параметра V_{\pm} : $\Delta V_{\pm} = 0.42 - 0.44$ В. Из экспериментальной вольт-фарадной характеристики данного $p-n$ -перехода следует, что интервалу ΔV_{\pm} соответствует область максимальной нелинейности изменения емкости. При значении $V_{\pm} \geq 0.5$ В колебания нелинейного осциллятора шунтируются прямым током, протекающим через открытый $p-n$ -переход.

Таким образом, величина и знак напряжения смещения на $p-n$ -переходе нелинейного колебательного контура существенно влияют на бифуркационные явления. Действительно, амплитуда внешнего сигнала, необходимая для первой бифуркации удвоения в этом интервале ΔV_{\pm} , примерно в 5 раз меньше, чем при отсутствии прямого смещения $V_{\pm} = 0$. Для возникновения первой области хаоса CA_2 такое отношение амплитуд внешнего сигнала составляет 3.6. Величиной постоянного смещения можно задавать уровень внешнего периодического сигнала, при котором в контуре возникают хаотические колебания.

В заключение авторы выражают благодарность А. С. Дмитриеву и В. Я. Кислову за полезные обсуждения.

Список литературы

- [1] *Linsay P. S.* // Phys. Rev. Lett. 1981. Vol. 47. N 19. P. 1349—1352.
- [2] *Testa J., Perez J., Jeffries C.* // Phys. Rev. Lett. 1982. Vol. 48. N 11. P. 714—717.
- [3] *Jeffries C., Perez J.* // Phys. Rev. A. 1983. Vol. 27. N 1. P. 601—603.
- [4] *Астахов В. В., Безручко Б. П., Селезнев Е. П.* // РиЭ. 1987. Т. 32. № 12. С. 2558—2566.

Институт радиотехники и электроники
АН СССР
Москва

Поступило в Редакцию
18 августа 1988 г.

ПРИМЕНЕНИЕ МЕТОДА ОГИБАЮЩИХ ДЛЯ РАСЧЕТА КАТОДНЫХ ЭЛЕКТРОННО-ОПТИЧЕСКИХ СИСТЕМ С УЧЕТОМ ИХ АБЕРРАЦИЙ

И. А. Петров, Е. В. Шпак

Метод огибающих, при использовании которого вместо расчета большого количества траекторий находят огибающую всего пучка в целом, нашел широкое применение для пучков заряженных частиц высоких энергий [1, 2]. Как правило, в этих работах не учитывались aberrации системы. Выражения для огибающих при учете отдельных видов aberrаций (сферической aberrации или дисторсии) найдены в работе [3]. В случае, когда наибольший вклад в aberrации вносит дисторсия системы, метод был применен для расчета входных камер ФЭУ, которые являются катодными электронно-оптическими системами [4]. При расчете свойств катодных линз обычно необходимо учитывать и остальные виды aberrаций. Поэтому данная работа посвящена развитию метода огибающих в применении к катодным системам с учетом aberrаций третьего порядка. Полученные результаты применены к расчету входных камер ФЭУ, но могут быть также использованы при расчете и оптимизации других катодных ЭОС.

Катодные системы отличаются от других ЭОС, фокусирующих пучки заряженных частиц, имеющие сравнительно большую скорость вдоль продольной оси системы и малые углы наклона траекторий к этой оси, тем, что частицы вылетают из катода под произвольными углами и тангенс угла наклона не может быть использован в качестве малого параметра для нахождения абберационных рядов. Вместо него используется начальная радиальная скорость частиц. Изучению катодных систем посвящено большое количество работ (см., например, [5-7]). Параксиальное уравнение траекторий для осесимметричной системы имеет вид [6]

$$r'' + \frac{\Phi' r'}{2(\Phi - \Phi_0 + \epsilon_z)} + \frac{\Phi'' r}{4(\Phi - \Phi_0 + \epsilon_z)} = 0, \quad (1)$$

где Φ — потенциал на оси z , Φ_0 — этот же потенциал при $z=z_0$, ϵ — начальная энергия частицы, $\epsilon_z = \epsilon \cos^2 \theta$, θ — угол наклона траектории к оси z у катода, штрих означает дифференцирование по z .

Если линейно независимые решения u , ω уравнения (1) удовлетворяют следующим начальным условиям:

$$u(z_0) = 0, \quad u'(z_0) = \frac{1}{\sqrt{\epsilon} \cos \theta}, \quad \omega(z_0) = 1, \quad \omega'(z_0) = 0, \quad (2)$$

то общее решение имеет вид

$$r = r_0 \omega + \sqrt{\epsilon} \sin \theta u, \quad (2a)$$

где r_0 — значение r при $z=z_0$ (на катоде).

Величина $\sqrt{\epsilon} \sin \theta$ пропорциональна радиальной скорости частицы. Обозначим $\sqrt{\epsilon} \sin \theta = v_r$. Если ограничиться рассмотрением движения в меридиональных плоскостях, то абберации третьего порядка осесимметричной катодной системы характеризуются четырьмя коэффициентами B , F , D и E , которые внутри системы являются функциями z [7]

$$r = r_0 \omega + v_r u + B v_r^2 + F r_0 v_r^2 + D r_0^2 v_r + E r_0^3. \quad (3)$$

Рассмотрим случай, когда значения координат и радиальных скоростей при $z=z_0$ ограничены эллипсом

$$\left(\frac{r_0}{r_m}\right)^2 + \left(\frac{v_r}{v_m}\right)^2 = 1, \quad (4)$$

где r_m и v_m — максимальные значения r_0 и v_r соответственно.

Рис. 1. Схема исследуемой катодной системы.

1 — фотокаатод, 2 — модулятор, 3 — умножительная система.

В этом случае огибающая пучка, представляющая собою его границу в реальном пространстве, может быть найдена методом нахождения огибающих кривых, зависящих от двух параметров, если известна связь между этими параметрами [8]. Связь между параметрами r_0 и v_r определена выражением (4). Для нахождения огибающей достаточно выразить один из параметров, например v_r , через другой (r_0), подставить его в выражение для траектории (3)

$$r = r_0 \omega + v_m u \sqrt{1 - \left(\frac{r_0}{r_m}\right)^2} + B v_m^3 \left[1 - \left(\frac{r_0}{r_m}\right)^2\right]^{3/2} + F r_0 v_m^2 - F r_0^3 \frac{v_m^2}{r_m^2} + D r_0^2 v_m \sqrt{1 - \left(\frac{r_0}{r_m}\right)^2} + E r_0^3 \quad (5)$$

и, продифференцировав выражение (5) по r_0 , приравняв к нулю производную $\partial r / \partial r_0$. Решение r_0 полученного уравнения, подставленное в (5), определит верхнюю ветвь огибающей. Нижняя симметрична ей относительно оси z . Приравняв к нулю $\partial r / \partial r_0$, мы получим кубическое уравнение относительно величины $p = r_0^2$

$$A_1 p^3 + A_2 p^2 + A_3 p + A_4 = 0, \quad (6)$$

где

$$A_1 = \frac{9}{r_m^2} \left(B_1^2 \frac{v_m^2}{r_m^2} + B_2^2 \right), \quad A_2 = 3 \left(2B_1 B_3 \frac{v_m^2}{r_m^2} - 3B_2^2 + 2B_2 B_4 \right), \\ A_3 = v_m^2 B_3 + r_m^2 B_2^2 - 6r_m^2 B_2 B_4, \quad A_4 = -r_m^4 B_2^2, \\ B_1 = r_m^2 D - v_m^2 B_1 B_2 = r_m^2 E - v_m^2 F, \quad B_3 = u + v_m^2 B - 2r_m^2 D, \\ B_4 = \omega + F v_m^2. \quad (7)$$

После несложных преобразований кубического уравнения и его решения, пренебрегая членами более высоких порядков, чем третий, получим выражение для огибающей

$$\bar{r} = \bar{r}_p + B \left(\frac{uv_m^2}{\bar{r}_p} \right)^3 + F \left(\frac{uv_m^2}{\bar{r}_p} \right)^2 \left(\frac{\omega r_m^2}{\bar{r}_p} \right) + D \left(\frac{uv_m^2}{\bar{r}_p} \right) \left(\frac{\omega r_m^2}{\bar{r}_p} \right)^2 + E \left(\frac{\omega r_m^2}{\bar{r}_p} \right)^3, \quad (8)$$

где $\bar{r}_p = \sqrt{(r_m \omega)^2 + (v_m u)^2}$ — огибающая параксиальных траекторий.

В области кроссовера, где нередко параксиальные члены сравнимы по величине с абберационными, большую точность расчета огибающей можно получить, находя ее не с помощью выражения (8), а решая уравнение (6) и подставляя $r_0 = \sqrt{p}$ в уравнение (5).

На рис. 1 показана катодная линза входной камеры ФЭУ с диаметром фотокаатода 20 см и длиной $L = 20$ см, для которой рассчитывались траектории и огибающие с учетом обертаций. Разность потенциалов между модулятором и катодом составляла 300 В. Наибольшие значения r_0 и v_r были выбраны: $r_m = 10$ см и $v_m = 0.707$ ($\epsilon = 1$ эВ, $\theta = 45^\circ$). Для получения достоверного результата при расчете огибающих с помощью выражений (5) или (8) нужно, чтобы траектории частиц в линзе с достаточной степенью точности описывались выражением (3), т. е. чтобы вклад аббераций более высокого порядка был невелик. Поэтому был проведен

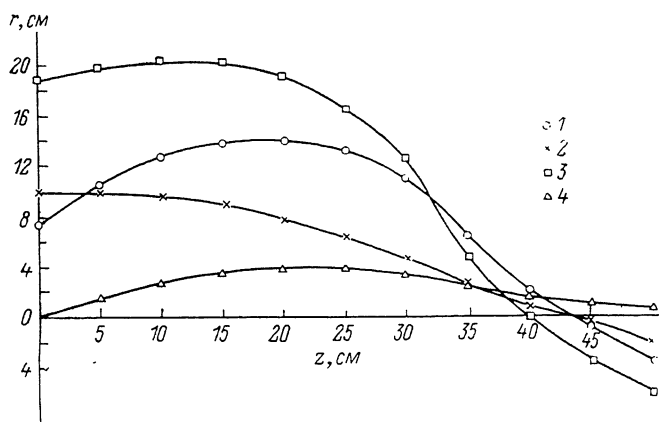


Рис. 2.

численный расчет траекторий, начальные значения r_0 и v_r для которых ограничены эллипсом (4), с использованием пакета прикладных программ для ОС ЕС ЭВМ [8]. Электростатическое поле рассчитывается интегральным методом с применением квадратур Гаусса до 16-го порядка, уравнение движения интегрируется методом Рунге—Кутты—Нистрема с переменным шагом. Для нахождения решения параксиального уравнения $\omega(z)$ рассчитывалась траектория с начальными условиями $v_r = 0$, $r_0 = 1$ см; для нахождения $u(z)$ — $r_0 = 0$, $v_r = 0.0875$ ($\epsilon = 1$ эВ, $\theta = 5^\circ$). Абберационные коэффициенты $B(z)$ и $E(z)$ находились с помощью траекторий $r_0 = 0$, $\epsilon = 1$ эВ, $\theta = 45^\circ$ и $r_0 = 10$ см, $v_r = 0$, $D(z)$ — с помощью двух траекторий $r_0 = 8.35$ см, $\epsilon = 1$ эВ, $\theta = 23^\circ$ и $r_0 = 5.55$ см, $\theta = 36^\circ$, $\epsilon = 1$ эВ. На основании полученных данных было рассчитано по формуле (3) большое количество траекторий с значениями r_0 и v_r , лежащими внутри или на границе эллипса (4). Расхождение между полученными результатами и численными расчетами на ЭВМ не превышает 5%, за исключением точек, где r мало. В последнем случае более правомерным является сравнение координаты z , при которой кривые $r(z)$ пересекают ось. При таком сравнении расхождение составляет 2%. На рис. 2 приведены результаты расчета отдельных траекторий, вычисленных на ЭВМ (сплошные кривые) и с помощью выражения (3): 1 — значения $r(z)$ для траектории с $r_0 = 3.73$ см, $v_r = 0.656$; 2 — $r_0 = 5.0$ см, $v_r = 0.174$; 3 — $r_0 = 9.40$ см, $v_r = 0.242$; 4 — $r_0 = 0$ см, $v_r = 0.375$. Из рисунка видно, что все приведенные траектории хорошо аппроксимируются приближенным выражением (3), в котором мы ограничили членами третьего порядка малости.

На рис. 3 приведены огибающая пучка частиц, начальные значения координат и скоростей которого ограничены эллипсом (4) при $r_m = 20$ см, $v_m = 0.707$, и отдельные траектории, рассчитанные на ЭВМ. Огибающая находилась с помощью выражения (5), в которое подставлялись значения $r_0 = \sqrt{p}$, где p — решение уравнения (6). Обе ветви огибающей смещены для наглядности на 1 мм от оси системы. Точность расчета огибающей определяется в основном точностью аппроксимации отдельных траекторий с помощью абберационного полинома (3).

так как дополнительных упрощающих предположений при нахождении огибающей в этом случае не делается.

Таким образом, для расчета огибающих пучков, лежащих в меридиональных плоскостях, необходимо рассчитать шесть траекторий: две — для нахождения решений u и ω пара-

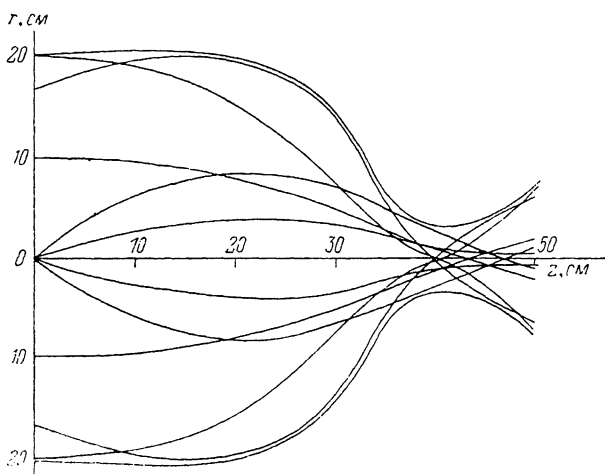


Рис. 3. Траектории и огибающие в катодной линзе, являющейся входной камерой ФЭУ с большим фотокатодом.

ксиального уравнения и четыре — для абберационных функций $B(z)$, $E(z)$, $F(z)$, $D(z)$. С помощью огибающих легко следить за токопрохождением пучка, определять трансмиссию системы. Знание огибающей упрощает нахождение кроссовера, который совпадает с ее минимумом. При использовании наиболее широко распространенных траекторных методов расчета для нахождения кроссовера и определения трансмиссии системы необходим расчет значительно большего количества траекторий.

Список литературы

- [1] Штеффен К. Оптика пучков высокой энергии. М.: Мир, 1969. 222 с.
- [2] Лоусон Дж. Физика пучков заряженных частиц. М.: Мир, 1960. 438 с.
- [3] Шпак Е. В., Гаврилов Е. И. // ЖТФ. 1982. Т. 52. Вып. 6. С. 1188—1193.
- [4] Гаврилов Е. И., Петров И. А., Шпак Е. В. // Матер. IX научно-техн. конф. по ЭЛГ и ФЭП «Электровакуумные и газоразрядные приборы». Л., 1982. С. 28—30.
- [5] Воробьев Ю. В. // ЖТФ. 1956. Т. 26. Вып. 10. С. 2269—2280.
- [6] Бошштедт Б. Е. // РИЭ. 1964. Т. 9. № 5. С. 844—850.
- [7] Власов А. Г., Шапиро Ю. А. Методы расчета эмиссионных электронно-оптических систем. Л.: Машинстроение, 1974. 183 с.
- [8] Фрейкман Б. Г. // Методы расчета электронно-оптических систем. Новосибирск, 1982. С. 154—155.

Физико-технический институт
им. А. Ф. Иоффе АН СССР
Ленинград

Поступило в Редакцию
31 августа 1988 г.

ОСОБЕННОСТИ РЕЛАКСАЦИОННОЙ НЕУСТОЙЧИВОСТИ УДАРНЫХ ВОЛН В МОЛЕКУЛЯРНЫХ ГАЗАХ НА ПРИМЕРЕ ТРИФТОРИОДМЕТАНА

А. П. Бедин

Одной из особенностей обтекания тел релаксирующими газами является возникновение при достижении телом некоторой критической скорости V_k так называемой релаксационной неустойчивости течения, выражающейся в турбулизации ударного слоя и невязкого следа,